

RESUME EXECUTIF : ESPADON

iotc ctoi

ÉTAT DE LA RESSOURCE D'ESPADON (SWO : *XIPHIAS GLADIUS*) DE L'OCEAN INDIEN

Tableau 1. État de l'espadon (*Xiphias gladius*) de l'océan Indien.

Zone ¹	Indicateurs	Détermination de l'état du stock 2018
océan Indien	Captures 2017 ² : 34 782 t Captures moyennes 2013–2017 : 31 405 t PME (1 000 t) (IC 80%) : 31,59 (26,30–45,50) F_{PME} (IC 80%) : 0,17 (0,12–0,23) SB_{PME} (1 000 t) (IC 80%) : 43,69 (25,27–67,92) F_{2015}/F_{PME} (IC 80%) : 0,76 (0,41–1,04) SB_{2015}/SB_{PME} (IC 80%) : 1,50 (1,05–2,45) SB_{2015}/SB_{1950} (IC 80%) : 0,31 (0,26–0,43)	

¹ Les limites de l'évaluation du stock de l'océan Indien sont définies par la zone de compétence de la CTOI.

² Proportion des captures estimées ou partiellement estimées par le Secrétariat de la CTOI en 2018 : 48%

Légende du code couleur	Stock surexploité ($SB_{année}/SB_{PME} < 1$)	Stock non surexploité ($SB_{année}/SB_{PME} \geq 1$)
Stock sujet à la surpêche ($F_{année}/F_{PME} > 1$)		
Stock non sujet à la surpêche ($F_{année}/F_{PME} \leq 1$)		
Pas évalué/incertain		

STOCK DE L'OCEAN INDIEN – AVIS DE GESTION

État du stock. Aucune nouvelle évaluation du stock n'a été réalisée en 2018, donc l'état du stock est déterminé sur la base de l'évaluation 2017 et des indicateurs présentés en 2018. En 2017, une évaluation utilisant un modèle de synthèse de stock a été réalisée avec des données de captures jusqu'en 2015. L'évaluation utilise un modèle spatialement désagrégé, sexuellement explicite et structuré par âge. Le modèle SS3, utilisé pour l'avis sur l'état du stock, indiquait que les points de référence basés sur la PME n'étaient pas dépassés pour la population de l'océan Indien ($F_{2015}/F_{PME} < 1$; $SB_{2015}/SB_{PME} > 1$). La plupart des autres modèles suggéraient que le stock se situait au-dessus du niveau de biomasse qui produirait la PME. En 2015, la biomasse féconde du stock a été estimée à 26-43% du stock vierge.

Les prises de l'année précédente sont supérieures au niveau de la PME (31 590 t). Ainsi, au vu des informations disponibles en 2018, le stock est déterminé comme **non surexploité** et **non sujet à la surpêche**.

Perspectives. La baisse des prises et de l'effort des palangriers de 2005 à 2011 a réduit la pression sur le stock de l'océan Indien et, en dépit de l'augmentation récente des captures totales enregistrées, la mortalité par pêche actuelle ne devrait pas conduire la population à la surexploitation dans les 10 ans à venir. Il existe une probabilité très faible de dépasser les points de référence basés sur la PME d'ici 2026 si les captures se maintiennent aux niveaux de 2015 (<1% de risques que $SB_{2026} < SB_{PME}$ et <1% de risques que $F_{2026} > F_{PME}$) (Tableau 2).

Avis de gestion. Les captures les plus récentes (34 782 t en 2017) sont au-dessus du niveau de la PME (31 590 t). Les captures devraient être réduites au niveau de la PME (31 590 t).

Les principaux points suivants doivent être notés :

- **Production maximale équilibrée (PME)** : l'estimation pour l'océan Indien est de 31 590 t.
- **Points de référence provisoires** : notant que la Commission a approuvé en 2015 la Recommandation 15/10 *Sur des niveaux de référence-cibles et -limites et sur un cadre de décision*, il convient de noter ce qui suit :
 - **Mortalité par pêche** : la mortalité par pêche actuelle est considérée comme en-deçà du point de référence-cible provisoire de F_{PME} et inférieure au point de référence-limite provisoire de $1,4*F_{PME}$ (Figure 1).
 - **Biomasse** : la biomasse du stock reproducteur actuelle est considérée comme au-dessus du point de référence-cible de SB_{PME} et donc au-dessus du point de référence-limite de $0,4*SB_{PME}$ (Figure 2).
- **Principaux engins de pêche** (2013-2017) : Les captures à la palangre sont actuellement estimées à environ 75% des captures totales d'espadon estimées pour l'océan Indien (Figure 1).
- **Principales flottes** (2013-2017) : Taïwan, Chine (palangre) : 21%; Sri Lanka (palangre/filet maillant) : 18%; UE, Espagne (palangre à espadon) : 12%; Indonésie (palangre fraîche) : 9%.

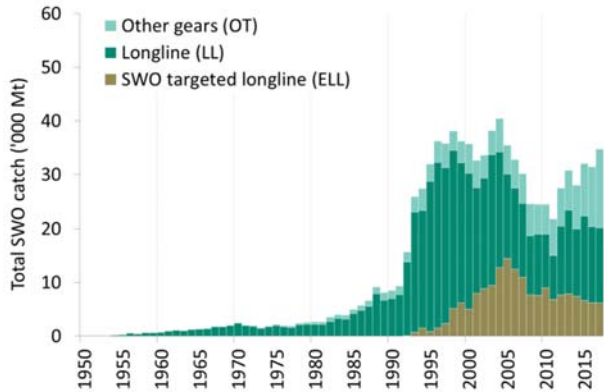


Figure 1. Espadon : Captures par engins et par années dans la base de données de la CTOI (1950-2017).

Note : « *other gears* » inclut : palangre/filet maillant, ligne à main, filet maillant, palangre côtière, traîne, pêche sportive et tous les autres engins.

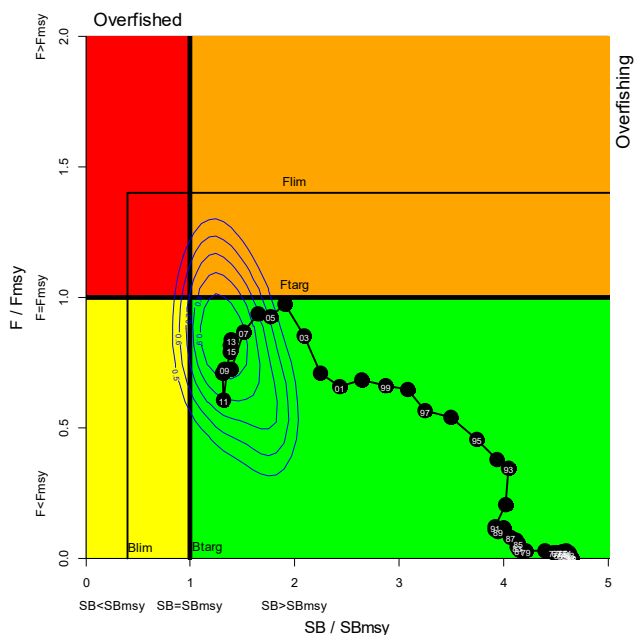


Figure 2. Espadon : Graphe de Kobe pour les évaluations SS3 sur l'ensemble de l'océan Indien (les contours correspondent aux 50^e, 60^e, 70^e, 80^e et 90^e centiles de l'estimation 2015. Les disques bleus représentent la trajectoire des estimations ponctuelles des ratios de SB et de F pour chaque année de 1950 à 2015. Les points de référence temporaires-cibles (F_{cible} et SB_{cible}) et -limites (F_{lim} et SB_{lim}), définis par la Commission, sont représentés.

Tableau 2. Espadon : Matrice de stratégie de Kobe II pour l'évaluation SS3 pour l'ensemble de l'océan Indien. Probabilité (pourcentage) de violer les points de référence basés sur la PME pour 9 projections à captures constantes (par rapport au niveau de captures moyen de 2015* : 32 129 t), $\pm 10\%$, $\pm 20\%$, $\pm 30\%$ et $\pm 40\%$) sur 3 et 10 ans.

Point de référence et durée de projection	Projections de capture alternatives (par rapport au niveau de captures moyen de 2015* : 32 129 t) et probabilité (%) de violer les points de référence-cibles ($SB_{cible} = SB_{PME}$; $F_{cible} = F_{PME}$)								
	60%	70%	80%	90%	100%	110%	120%	130%	140%
	(19 278 t)	(22 491 t)	(22 704 t)	(28 917 t)	(32 129 t)	(35 343 t)	(38 556 t)	(41 769 t)	(44 982 t)
$SB_{2018} < SB_{PME}$	0	0	0	0	0	0	0	08	13
$F_{2018} > F_{PME}$	0	0	0	0	13	33	42	58	71
$SB_{2025} < SB_{PME}$	0	0	0	0	08	33	46	63	75
$F_{2025} > F_{PME}$	0	0	0	04	38	54	71	83	88
Point de référence et durée de projection	Projections de capture alternatives (par rapport au niveau de captures moyen de 2015* : 32 129 t) et probabilité (%) de violer les points de référence-limites ($SB_{cible}=0,4SB_{PME}$; $F_{cible}=1,4F_{PME}$)								
	60%	70%	80%	90%	100%	110%	120%	130%	140%
	(19 278 t)	(22 491 t)	(22 704 t)	(28 917 t)	(32 129 t)	(35 343 t)	(38 556 t)	(41 769 t)	(44 982 t)
$SB_{2018} < SB_{lim}$	0	0	0	0	0	0	0	0	0
$F_{2018} > F_{lim}$	0	0	0	0	0	0	0	13	33
$SB_{2025} < SB_{lim}$	0	0	0	0	0	0	0	0	21
$F_{2025} > F_{lim}$	0	0	0	0	0	21	42	63	75

* captures 2015, à la date de la dernière évaluation de l'espadon, réalisée en 2017.